

DD 61 N

Elektrische Eigenschaften**Electrical properties****Höchstzulässige Werte****Maximum rated values**

Periodische Spitzensperrspannung	repetitive peak reverse voltage	$t_{vj} = -40^\circ\text{C} \dots t_{vj \max}$	V_{RRM}	600, 800	V
				1200, 1400	V
				1600	V
Stoßspitzenspannung	non repetitive peak reverse voltage	$t_{vj} = +25^\circ\text{C} \dots t_{vj \max}$	$V_{RSM} = V_{RRM}$	+ 100	V
Durchlaßstrom-Grenzeffektivwert	RMS forward current		I_{FRMSM}	120	A
Dauergrenzstrom	average forward current	$t_c = 100^\circ\text{C}$ $t_c = 82^\circ\text{C}$	I_{FAVM}	61	A
				76	A
Stoßstrom-Grenzwert	surge current	$t_{vj} \leq 25^\circ\text{C}, t_p = 10 \text{ ms}$ $t_{vj} = t_{vj \max}, t_p = 10 \text{ ms}$	I_{FSM}	1350	A
Grenzlastintegral	$\int i^2 dt$ -value	$t_{vj} \leq 25^\circ\text{C}, t_p = 10 \text{ ms}$ $t_{vj} = t_{vj \max}, t_p = 10 \text{ ms}$	$\int i^2 dt$	1200	A
				9100	A^2s
				7200	A^2s

Charakteristische Werte**Characteristic values**

Durchlaßspannung	forward voltage	$t_{vj} = t_{vj \max}, I_F = 230 \text{ A}$	V_F	max.	1,54 V
Schleusenspannung	threshold voltage		$V_{(TO)}$		0,75 V
Ersatzwiderstand	slope resistance		r_T		3 mΩ
Sperrstrom	reverse current	$t_{vj} = t_{vj \max}, V_F = V_{RRM}$	i_R	max.	10 mA
Isolations-Prüfspannung	insulation test voltage	RMS, f = 50 Hz, t = 1 min	V_{ISOL}		2,5 kV

Thermische Eigenschaften**Thermal properties**

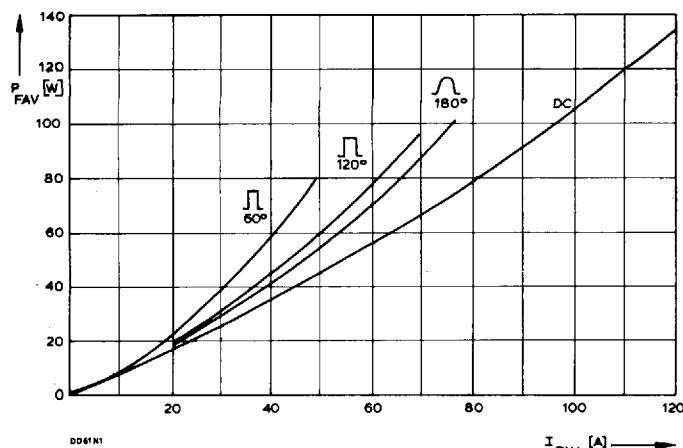
Innerer Wärmewiderstand	thermal resistance, junction to case	$\Theta = 180^\circ\text{el}$, sinus: DC:	R_{lhJC}	max.	0,34°C/W
		pro Modul/per module pro Zweig/per arm		max.	0,68°C/W
		pro Modul/per module pro Zweig/per arm		max.	0,32°C/W
		pro Modul/per module pro Zweig/per arm		max.	0,64°C/W
Übergangs-Wärmewiderstand	thermal resistance, case to heatsink		R_{lhCK}	max.	0,08°C/W
		pro Modul/per module pro Zweig/per arm		max.	0,16°C/W
Höchstzul. Sperrsichttemperatur	max. junction temperature			$t_{vj \max}$	150°C
Betriebstemperatur	operating temperature			$t_{c op}$	- 40°C ... +150°C
Lagertemperatur	storage temperature			t_{stg}	- 40°C ... +150°C

Mechanische Eigenschaften**Mechanical properties**

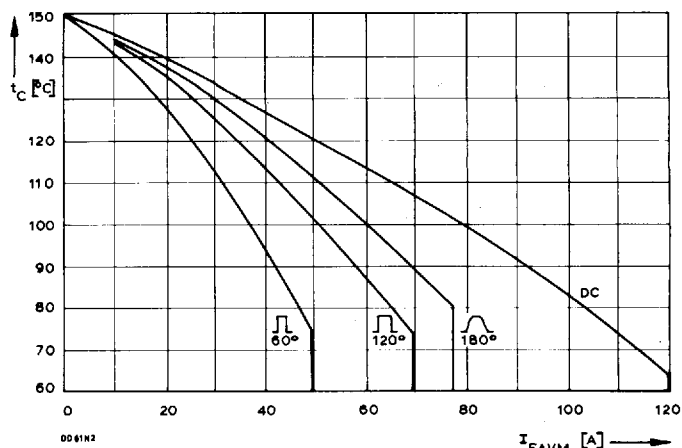
Si-Elemente glaspassiviert, Lötkontakt	Si-pellets glass-passivated, soldered contact				
Innere Isolation	internal insulation				Al_2O_3
Anzugsdrehmomente	tightening torques				
mechanische Befestigung	mounting torque	Toleranz/tolerance $\pm 15\%$	M1	4 Nm	
elektrische Anschlüsse	terminal connection torque	Toleranz/tolerance $+ 5\%/- 10\%$	M2	4 Nm	
Gewicht	weight		G	typ. 160 g	
Kriechstrecke	creepage distance				12,5 mm
Schwingfestigkeit	vibration resistance	$f = 50 \text{ Hz}$			$5 \cdot 9,81 \text{ m/s}^2$
Maßbild	outline				1

Recognized by UNDERWRITERS LABORATORIES INC.

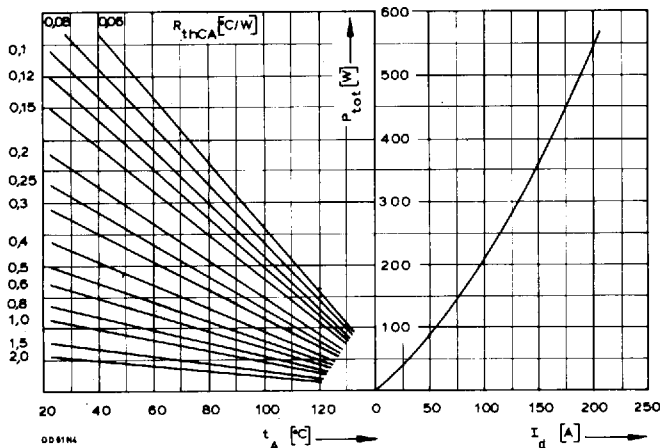
DD 61 N



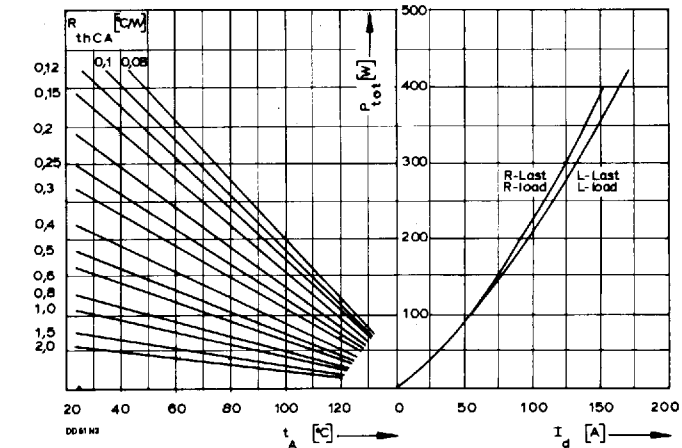
Bild/Fig. 1
Durchlaßverlustleistung P_{FAV} eines Zweiges
Forward power loss P_{FAV} per arm



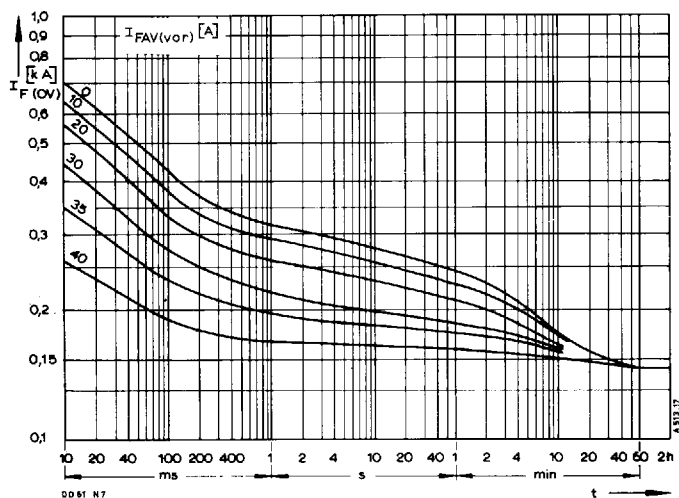
Bild/Fig. 2
Höchstzulässige Gehäusetemperatur t_C in Abhängigkeit vom Zweigstrom
Maximum allowable case temperature t_C versus current per arm



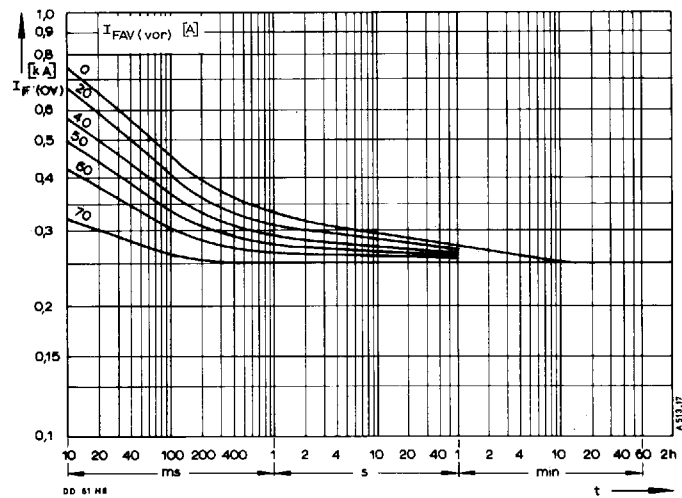
Bild/Fig. 3
B2 – Zweipuls-Brückenschaltung
Höchstzulässiger Ausgangsstrom I_d in Abhängigkeit von der Umgebungs-temperatur t_A .
B2 – Two-pulse bridge circuit
Maximum allowable output current I_d versus ambient temperature t_A .
Parameter: Wärmewiderstand zwischen Powerblock und Umgebung/
thermal resistance case to ambient R_{thCA}



Bild/Fig. 4
B6 – Sechspuls-Brückenschaltung
Höchstzulässiger Ausgangsstrom I_d in Abhängigkeit von der Umgebungs-temperatur t_A .
B6 – Six-pulse bridge circuit
Maximum allowable output current I_d versus ambient temperature t_A .
Parameter: Wärmewiderstand zwischen Powerblock und Umgebung/
thermal resistance case to ambient R_{thCA}

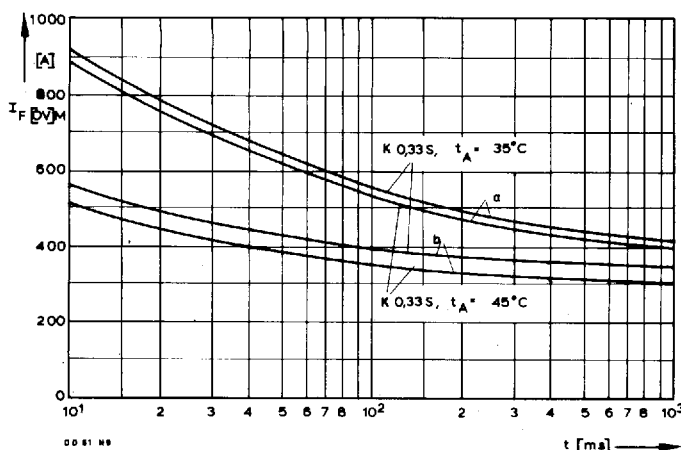


Bild/Fig. 5
B2 – Zweipuls-Brückenschaltung/Two-pulse bridge circuit
Überstrom je Zweig $I_F(OV)$ bei Luftseltbstkühlung, $t_A = 45^\circ\text{C}$, Kühlkörper KP0,33 S.
Overload on-state current per arm $I_F(OV)$ at natural cooling, $t_A = 45^\circ\text{C}$,
heat sink type KP0.33 S.
Parameter: Vorlaststrom je Zweig/pre-load current per arm $I_{FAU(vor)}$



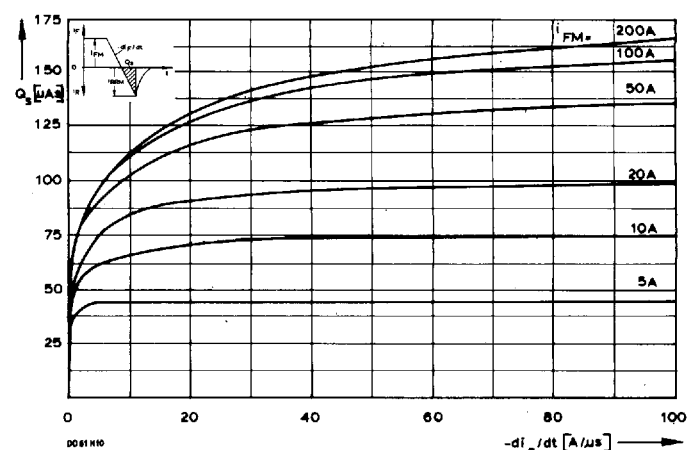
Bild/Fig. 6
B2 – Zweipuls-Brückenschaltung/Two-pulse bridge circuit
Überstrom je Zweig $I_F(OV)$ bei verstärkter Luftkühlung, $t_A = 35^\circ\text{C}$, Kühlkörper KP0,33 S.
Overload on-state current per arm $I_F(OV)$ at forced cooling, $t_A = 35^\circ\text{C}$,
heat sink type KP0.33 S.
Parameter: Vorlaststrom je Zweig/pre-load current per arm $I_{FAU(vor)}$

DD 61 N



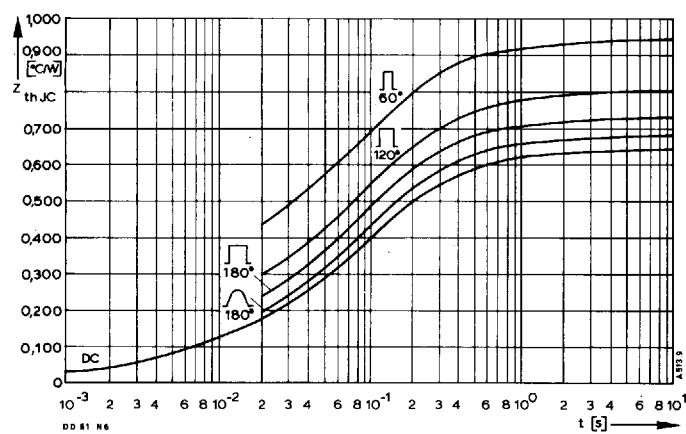
Bild/Fig. 7

Grenzstrom je Zweig $I_{F(OV)M}$ bei Luftselbstkühlung, $t_A = 45^\circ\text{C}$ und verstärkter Luftkühlung, $t_A = 35^\circ\text{C}$, Kühlkörper KP0,33S, $V_{RM} = 0.8 V_{RRM}$.
Limiting overload on-state current per arm $I_{F(OV)M}$ at natural ($t_A = 45^\circ\text{C}$) and forced ($t_A = 35^\circ\text{C}$) cooling, heatsink type KP0,33S, $V_{RM} = 0.8 V_{RRM}$.
a - Belastung nach Leerlauf/current surge under no-load conditions
b - Belastung nach Betrieb mit Dauergrenzstrom I_{FAVM}
Current surge occurs during operation at limiting mean on-state current rating I_{FAVM}



Bild/Fig. 8

Nachlaufladung Q_S in Abhängigkeit von der abkommunizierenden Stromsteilheit $-di_F/dt$ bei $t_{ij \max}$.
Lag charge Q_S versus the rate of decay of the on-state current $-di_F/dt$ at $t_{ij \max}$.



Bild/Fig. 9

Transienter innerer Wärmewiderstand je Zweig $Z_{(th)JC}$.
Transient thermal impedance, junction to case, per arm $Z_{(th)JC}$.

Pos. n	1	2	3	4	5
R_{thn} [$^\circ\text{C}/\text{W}$]	0,00525	0,0494	0,2405	0,298	0,047
τ_n [s]	0,000045	0,00149	0,0444	0,174	0,95

$$Z_{thJC} = \sum_{n=1}^{n_{\max}} R_{thn} (1 - e^{-t/\tau_n})$$

Transienter Wärmewiderstand Z_{thJC} pro Zweig für DC.
Transient thermal impedance Z_{thJC} per arm for DC.